

수정 하후변환을 이용한 전선의 중심위치의 인식

안경관*

Recognition of the Center Position of Electric Line Using Modified Hough Transform

Kyoung-Kwan Ahn*

ABSTRACT

Uninterrupted power supply has become indispensable during the maintenance task of active electric power lines as a result of today's highly information-oriented society and increasing demand of electric utilities. The maintenance task has the risk of electric shock and the danger of falling from high place. Therefore it is necessary to realize an autonomous robot system. In order to realize these tasks autonomously, the three dimensional position of target object such as electric line and the stand of insulator must be recognized accurately and rapidly. The insertion task of an electric line into a sleeve is selected as the typical task of the maintenance of active electric power distribution lines in this paper. A modified hough transform is applied to the recognition of the center of electric line and optimal target position calculation method is newly derived in order to recognize the center 3 dimensional position of the electric line. By the proposed method, it is proved that the center position of the electric line can be recognized without respect to the noise of image and the shape of electric lines and the insertion task of an electric line is realized.

Key Words : Hough Transform(하후변환), Automatic Assembly(자동조립), Active Electric line(활선), Vision System(화상시스템)

1. 서론

최근, 컴퓨터 등의 정보기기의 사용이 급증함에 따라 전력을 안정적으로 공급하는 것이 무엇보다도 중요한 부분이 되었다. 특히 배선전의 보수 공사를 수행할 때, 송전을 멈추지 않고 공사를 수행하는 활선공사가 더욱 요구되어지고 있다. 그런데, 상기 활선공사는 높고 불안정한 장소에서의 작업일뿐만 아니라, 작업시 감전 등의 안전사고와 3D 산업에서의 작업자의 감소 등의 원인으로 이와 같은 작업을 원격제어 혹은 기계의 완전 자율에

의해 수행할 필요가 있다.

현재는 일본, 캐나다, 미국 등지에서 상기 활선공사를 전용공구에 의한 원격조작 매니퓰레이터에 의하여 반자동으로 수행하고 있으며 그 대부분은 마스터 슬레이브(Master-Slave) 방식의 원격조작 매니퓰레이터 시스템이다⁽¹⁾⁻⁽⁴⁾. 그런데 마스터 슬레이브 방식의 작업은 CCD 카메라 등에 전송되어온 작업환경을 보면서 작업을 수행하므로 실제 작업자가 직접 작업하는 경우보다 작업효율이 훨씬 떨어지는 문제점을 가지고 있다.

이에 대한 대안으로서 인간이 개입하지 않고

* 2002년 3월 29일 접수
울산대학교 기계자동차공학부

작업을 자율적으로 수행할 수 있는 자율제어 시스템을 본 연구에서는 구축하고자 한다. 이와 같은 옥외작업에 대해서 자율제어 시스템을 구축하기 위해서는 기본행동기로서 고정도의 위치 및 힘제어기와 작업 대상물의 목표위치의 인식기 및 작업경로 판단기 등의 세부 기술에 대한 연구가 필수불가결한 요소가 된다.

저자는 활선공사중에서 불터와 너트의 장착 및 체결작업과 전선의 슬리브에의 삽입작업을 활선공사에서의 대표작업으로 선정하여, 작업의 자율화를 목표로 현재 연구를 진행하고 있다. 전선의 중심위치를 안다고 가정할 경우, 저자에 의해 제안된 힘제어 알고리즘⁽⁵⁾⁻⁽⁷⁾ 및 협조 제어 알고리즘⁽⁸⁾에 의해, 부분적인 조립작업의 자율화가 실현되어 있다. 본 연구에서는 전선의 슬리브에의 삽입작업의 완전 자율화를 위해 필요한 전선의 중심위치의 인식을 위하여 하후변환(Hough Transform)⁽⁹⁾⁻⁽¹⁰⁾을 수정하여 포물선의 인식에 응용한 수정하후변환을 적용한다. 또한, 수정하후변환에 의해 구한 화상에서의 전선의 중심위치로부터 실제의 전선중심의 3 차원 좌표를 구하기 위해 다수의 화상을 이용한 목표위치의 최적화를 수학적으로 유도한다. 마지막으로 제안한 다수의 화상을 이용한 수정된 하후변환에 의한 전선의 중심위치의 인식법을 실제의 배전공사중에서 전선의 슬리브에의 삽입작업에 응용하여 제안한 인식법의 유효성을 확인한다.

2. 실험장치

실험장치의 개략도를 Fig. 1에 나타낸다. CCD 카메라는 PC에 의해 제어되는 전기유압식 6축 매니퓰레이터의 선단에 장착되어져 화상을 취득한다. 얻어진 다수의 화상은 화상처리장치에서 전선의 3차원 중심좌표가 연산되어져 그 계산 결과는 호스터 PC에 보내진다. CCD 카메라의 CCD는 1/3인치, 4.1×10^5 화소, 렌즈의 초점거리는 $f=15[\text{mm}]$ 이다. 화상처리장치의 CPU는 Pentium 166[MHz]이고, 8bit, 256 단조의 광도정보를 처리한다. 호스터 PC의 CPU는 MMX Pentium 200[MHz]이다. 실험에 사용되어지는 매니퓰레이터의 절대위치는 매니퓰레이터의 각 축의 엔코더(분해능: 0.0044[Deg])에 의해 연산되어 PC에 입력된다. 실제의 활선공사시에는 Fig. 2에 나타낸 바와 같이 2대의 매니퓰

레이터에 의해 작업을 수행한다.

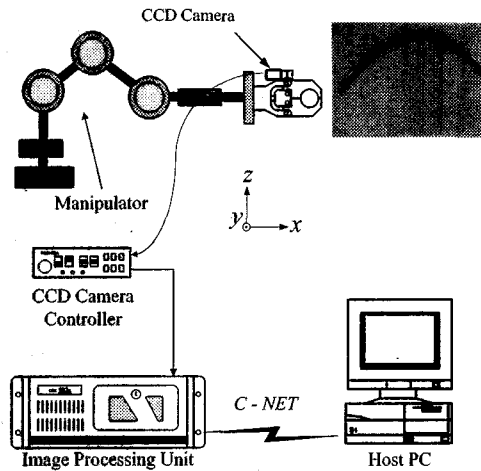


Fig. 1 System Configuration of a 6-Link Electro-Hydraulic Manipulator

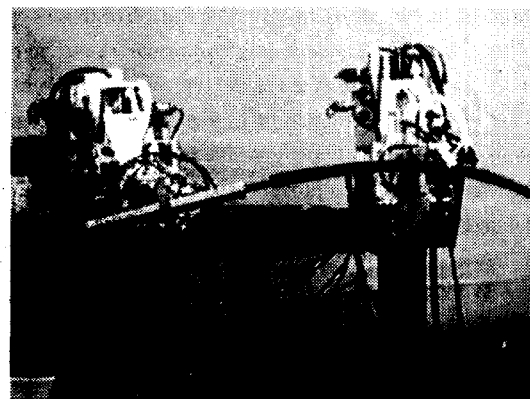


Fig. 2 Insertion Task of Electric Line to Sleeve

3. 수정하후변환을 이용한 화상에서의 전선의 중심위치 인식

3.1 포물선 인식을 위한 수정하후변환

본 논문의 대상작업인 전선의 슬리브에의 삽입작업은 활선공사의 마지막 단계에 필요한 공정이며 절단된 전선을 매니퓰레이터의 끝단에 설치된 그리파가 파지하는 것으로부터 작업이 진행된다. 따라서, 본 활선공사를 자율적으로 수행하기 위해서는 전선의 중심위치를 인식할 필요가 있다. 그러나, 이 보수작업이 수행되어지는 현장에서는

목표물이 되는 전선 이외에도 배경이나 다른 물체에 의한 전선의 은폐 등에 의해 전선의 중심부의 인식이 매우 곤란하다. 이와 같은 불완전한 정보로부터 도형의 파라메터를 찾는 강건한 인식수법으로서, 하후변환을 이용한 수법이 제안되어져 있다. 하후변환은 지금으로부터 30년전에 하후에 의해 제안되어졌으며, 그 원리는 Fig. 3 과 같다. 즉 $y=ax+b$ 에 의해 표현되어진 2 치화 화상으로부터 직선의 기울기(a)와 절편(b)을 구하기 위해 (a, b) 파라메터 공간상에서 히스토그램을 구성, 그 피크치를 탐색함으로서 직선의 기울기와 절편을 구할 수 있다. 여기서 파라메터 공간에 구성된 히스토그램을 나타내는 행렬을 어큐뮬레이터 행렬(Accumulator Matrix)이라 한다. 하후변환은 직선의 기울기와 절편을 구하기 위해 고안된 수법이지만, 여기서는 전선의 중심을 인식하기 위해 전선의 형태를 포물선으로 근사시켜 상기 하후변환을 수정

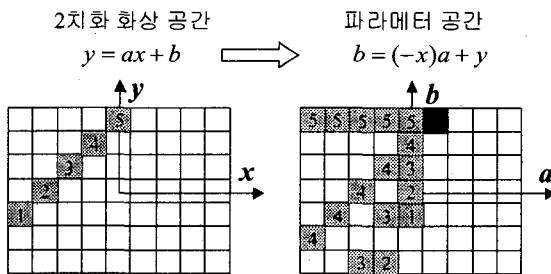


Fig. 3 Principle of Hough Transform

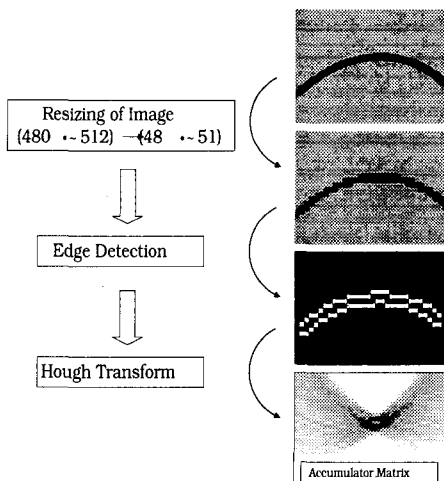


Fig. 4 Algorithm for Recognition of Electric Line

하여 포물선식으로 표현되어진 $y=a(x-b)^2+c$ 의 (a, b, c) 파라메터를 구한다. 직선의 경우는 상기 어큐뮬레이터 행렬이 2 차원 배열임에 반해, 포물선의 경우는 3 차원 배열이 됨을 알 수 있다.

3.2 수정하후변환을 이용한 전선중심의 인식 알고리즘

포물선 인식에 사용되는 수정하후변환을 이용한 전선중심의 인식법을 Fig. 4 에 나타내고 있다. 우선 계산 시간의 단축을 위해 CCD 카메라로부터 취득한 원화상을 1/10 사이즈로 축소시키고 축소한 화상을 이치화 처리한다. 이 이치화 화상에 본 논문에서 제안한 수정하후변환을 적용시켜 3 차원 파라메터 공간상에 투표한다. 이 때, 투표수가 가장 많은 파라메터 값이 전선의 중심위치 및 기울기가 된다. Fig. 4 의 하단부에는 전선의 기울기를 고정한 상태에서 포물선 중심 (x, y)에 대한 어큐뮬레이터 행렬을 나타내고 있다. 하단부의 그래프에서 색이 짙을수록 겹친 횟수가 많음을 나타내며, 그 좌표가 전선의 중심좌표를 의미하게 된다. 다음으로 수정하후변환을 이용한 인식실험결과에 대하여 설명한다.

3.3 전선중심의 인식 실험

본 절에서는 전 절에서 제안한 수정하후변환의 강건성을 확인하기 위하여, 각 화상에 3 종류의 노이즈를 넣은 경우, 장애물이 있는 경우 및 대상물이 은폐되어있는 경우에 대해서 전선 중심의 인식 실험을 실시했다.

3.3.1 노이즈에 관한 검토

Fig. 5 는 노이즈를 포함한 전선의 화상에 대하여 수정하후변환을 적용한 결과를 나타내고 있다. Fig. 5 의 상단부는 Fig. 4 의 상단부에 나타내고 있는 원화상에 각각 Gaussian Noise, Salt&Pepper Noise 및 Speckle Noise 를 임의로 넣은 화상을 나타내고 있다. Fig. 5 의 하단부는 수정하후변환의 결과를 나타내고 있다. 하단부의 x 축은 식(2)의 b 의 값(즉, 포물선의 중심의 x 좌표)을, y 축은 포물선의 c 의 값(포물선의 중심의 y 좌표)을 각각 나타낸다. 하단부의 결과로부터 다양한 노이즈에 상관없이 전선의 중심(여기서는 $(x, y)=(1,2)$)을 인식하고 있음을 알 수 있다.

3.3.2 장애물 및 목표물의 은폐에 관한 검토

본 논문에서 대상으로 하고 있는 활선공사의 작업환경을 고려한다면, 전선이 위치하는 화면에 다른 물체가 함께 혼재하던가 아니면 전선이 다른 물체에 은폐될 가능성을 배제할 수 없다. 그런 경우를 고려하여 원형 및 직각형의 장애물이 있는 경우와 전선이 부분적으로 은폐되어 있는 경우에 대한 전선중심의 인식 실험을 수행했다. 그 결과를 Fig. 6 의 (a), (b), (c)에 각각 나타내고 있다. Fig. 6 의 상단부는 원래의 화상을, 중단부는 전선의 중심좌표에 대한 어큐뮬레이터 행렬의 결과를, 하단부는 원래의 장애물이 포함되어 있는 이치화 화상과 수정하후변환의 연산결과로부터 구한 전선의 형상을 겹쳐서 나타내고 있다. 이 결과로부터 2 종류의 대표적인 장애물과 부분적인 은폐가 있는 경우의 전선에 대해서도 수정하후변환에 의해 전선의 중심을 인식할 수 있음을 확인하였다.

3.3.3 기울기가 다른 전선에 관한 검토

Fig. 5 에 제시된 전선과 기울기가 다른 전선에 대하여 실험을 수행하였다. 그 결과를 Fig. 7 에 나타내고 있다. 수정하후변환을 적용한 결과 기울기가 다른 전선에 대해서도 그 중심을 정확하게 인식함을 알 수 있다.

4. 다수의 화상을 이용한 전선중심의 인식

3 장에서는 포물선 인식을 위한 수정하후변환을 이용하여 2 차원 화상에서의 전선의 중심좌표를 구할 수 있었다. 그런데, 본 논문에서의 전선삽입작업을 실현하기 위해서는 전선중심의 3 차원좌표를 알아야 한다. 본 절에서는 전선중심의 3 차

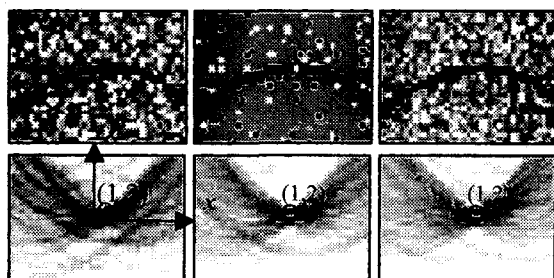


Fig. 5 Hough Transform with Noise Image

원 좌표를 구하기 위해 매니퓰레이터의 움직임과 그 때 촬영한 화상에서의 전선위치를 기하학적인 관계를 이용하여 전선중심의 3 차원좌표의 최적해를 구하는 방법을 소개한다. 또한 이 유도된 전선 중심 인식법을 실제 매니퓰레이터를 이용한 전선 삽입작업에 응용한다.

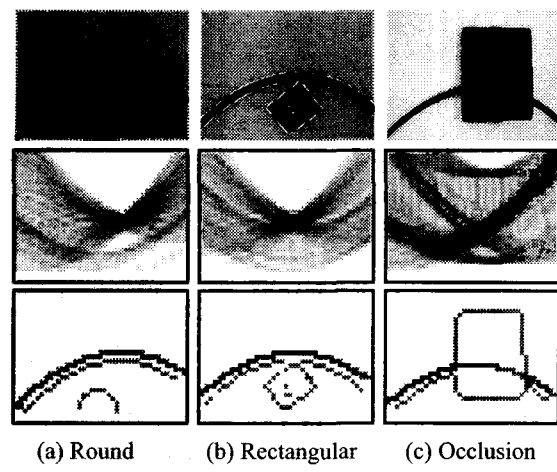


Fig. 6 Hough Transform with Obstacle and Occlusion

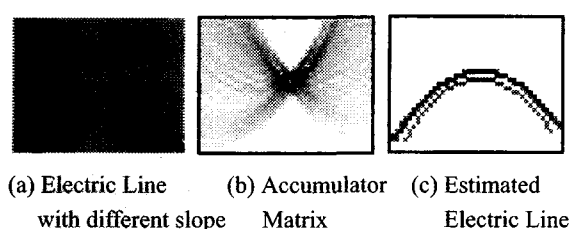


Fig. 7 Hough Transform with Different Shape

4.1 기본원리

본 절에서는 카메라 모델로서 Fig. 8 에 나타낸 것과 같은 Pin-Hole 카메라 모델을 이용한다. Z 축은 카메라의 초점과 같은 방향이고 X, Y 축은 각각 화상의 수평, 수직방향을 나타낸다. 특징점을 $P=[X_0, Y_0, Z_0]$ 로 하고, 화상에서의 특징점의 좌표를 $p=[x, y]$, 1[pixel]당의 실제의 거리를 s , 촛점거리를 f 로 정의 하면 식(1)과 같은 비례관계가 성립한다.

$$x = \frac{f}{s} \frac{X_0}{Z_0}, \quad y = \frac{f}{s} \frac{Y_0}{Z_0} \quad (1)$$

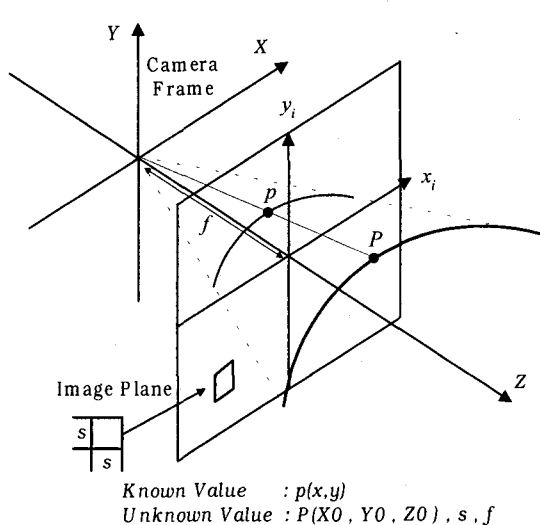


Fig. 8 Pin-Hole Camera Model

식(1)에서 화상의 특징점은 3 장의 수정하후변환에 의하여 기지의 값이고, 그 이외의 값은 미지라고 가정한다. 물론 1[Pixel]당의 실제의 거리 s 도 기지의 값이라고 하여도 무방하나, 향후 완전 자율시스템에서는 카메라의 줌기능을 포함하여 넓은 영역에서 목표물을 인식하기 위하여 미지의 값으로 가정한다. 즉, s 가 미지라는 조건에 의해 카메라의 캘리브레이션이 필요 없게 된다. 여기서 식(1)의 최적해를 구하기 위해 매니퓰레이터의 공간상에서의 움직임과 화상에서의 전선의 중심위치의 변화의 기하학적인 관계를 이용하여 식(2)가 유도되어 진다.

$$x_i = \frac{f(X_0 + \Delta X_i)}{s(Z_0 + \Delta Z_i)}, \quad y_i = \frac{f(Y_0 + \Delta Y_i)}{s(Z_0 + \Delta Z_i)} \quad (2)$$

여기서 X_0, Y_0, Z_0 는 매니퓰레이터의 초기위치를, $\Delta X_i, \Delta Y_i, \Delta Z_i$ 는 매니퓰레이터를 초기위치에서 X, Y, Z 축 방향으로 움직인 거리를, x_i, y_i 는 2 차원 화상에서의 전선의 중심위치를 각각 나타낸다. 식(2)로부터 X_0, Y_0, Z_0 의 최적치를 구하기 위하여 식(3)과 같은 평가함수 J_n 을 정의 한다.

$$J_n = \sum_{i=1}^n \left[\frac{\{(Z_0 + \Delta Z_i) \cdot x_i - r(X_0 + \Delta X_i)\}^2}{r^2} + \frac{\{(Z_0 + \Delta Z_i) \cdot y_i - r(Y_0 + \Delta Y_i)\}^2}{r^2} \right] \quad (3)$$

where $r = \frac{f}{s}$

여기서 n 은 매니퓰레이터의 이동한 횟수를 나타낸다. 식(3)에서 평가함수 J_n 을 최소화하는 X_0, Y_0, Z_0 를 구하기 위해 다음 식을 이용한다.

$$\frac{\partial J_n}{\partial X_0} = 0, \quad \frac{\partial J_n}{\partial Y_0} = 0, \quad \frac{\partial J_n}{\partial Z_0} = 0, \quad \frac{\partial J_n}{\partial r} = 0 \quad (4)$$

식(4)를 풀기 위해 편미분방정식을 전개하면 식(5)~(8)의 구해진다.

$$\frac{\partial J_n}{\partial X_0} = 2 \sum_{i=1}^n [\{(X_0 + \Delta X_i) \cdot r - (Z_0 + \Delta Z_i) \cdot x_i\} \cdot r] = 0 \quad (5)$$

$$\frac{\partial J_n}{\partial Y_0} = 2 \sum_{i=1}^n [\{(Y_0 + \Delta Y_i) \cdot r - (Z_0 + \Delta Z_i) \cdot y_i\} \cdot r] = 0 \quad (6)$$

$$\frac{\partial J_n}{\partial Z_0} = 2 \sum_{i=1}^n \left[\frac{\{(X_0 + \Delta X_i) \cdot r - (Z_0 + \Delta Z_i) \cdot x_i\} \cdot x_i}{r} + \frac{\{(Y_0 + \Delta Y_i) \cdot r - (Z_0 + \Delta Z_i) \cdot y_i\} \cdot y_i}{r} \right] = 0 \quad (7)$$

$$\frac{\partial J_n}{\partial r} = 2 \sum_{i=1}^n \left[\frac{\{(X_0 + \Delta X_i) \cdot r - (Z_0 + \Delta Z_i) \cdot x_i\} \cdot x_i}{(Z_0 + \Delta Z_i) \cdot y_i} + \frac{\{(Y_0 + \Delta Y_i) \cdot r - (Z_0 + \Delta Z_i) \cdot y_i\} \cdot y_i}{(Z_0 + \Delta Z_i) \cdot y_i} \right] = 0 \quad (8)$$

식(5)와 (6)으로부터 아래 식이 유도되어진다.

$$r \cdot X_0 = \frac{1}{n} \sum_{i=1}^n [-\Delta X_i \cdot r + x_i \cdot Z_0 + x_i \cdot \Delta Z_i] = 0 \quad (9)$$

$$r \cdot Y_0 = \frac{1}{n} \sum_{i=1}^n [-\Delta Y_i \cdot r + y_i \cdot Z_0 + y_i \cdot \Delta Z_i] = 0 \quad (10)$$

식(9), (10)을 식(7)에 대입하면 다음 식이 유도된다.

$$r = \alpha \cdot Z_0 + \beta \quad (11)$$

$$\text{where } \alpha = \frac{\left\{ (sx)^2 + (sy)^2 - sxy \right\}}{den}$$

$$\beta = \frac{\left\{ (sx \cdot sz + sy \cdot sz) - sdzxy \right\}}{den}$$

$$\begin{aligned}
 sx &= \sum_{i=1}^n x_i & sy &= \sum_{i=1}^n y_i & sxy &= \sum_{i=1}^n (x_i^2 + y_i^2) \\
 sxz &= \sum_{i=1}^n x_i \cdot \Delta Z_i & syz &= \sum_{i=1}^n y_i \cdot \Delta Z_i \\
 sdzxy &= \sum_{i=1}^n \{\Delta Z_i \cdot (x_i^2 + y_i^2)\} \\
 sdx &= \sum_{i=1}^n \Delta X_i & sdy &= \sum_{i=1}^n \Delta Y_i \\
 sxx &= \sum_{i=1}^n (x_i \cdot x_i) & syy &= \sum_{i=1}^n (y_i \cdot y_i) \\
 den &= \left(\frac{sx \cdot sdx + sy \cdot sdy}{n} - sxx - syy \right)
 \end{aligned}$$

또한 식(9), (10) 및 (11)에서 다음 식이 유도된다.

$$r \cdot X_0 = \alpha_X \cdot Z_0 + \beta_X \quad (12)$$

$$r \cdot Y_0 = \alpha_Y \cdot Z_0 + \beta_Y \quad (13)$$

$$\text{where } \alpha_X = \frac{(sx - sdx \cdot \alpha)}{n}, \quad \beta_X = \frac{(sxz - sdx \cdot \beta)}{n}$$

$$\alpha_Y = \frac{(sy - sdy \cdot \alpha)}{n}, \quad \beta_Y = \frac{(syz - sdy \cdot \beta)}{n}$$

$$\begin{aligned}
 r^2 X_0 &= r \cdot (\alpha_X \cdot Z_0 + \beta_X) \\
 &= c_1 \cdot Z_0^2 + c_2 \cdot Z_0 + c_3
 \end{aligned} \quad (14)$$

$$\begin{aligned}
 r^2 Y_0 &= r \cdot (\alpha_Y \cdot Z_0 + \beta_Y) \\
 &= d_1 \cdot Z_0^2 + d_2 \cdot Z_0 + d_3
 \end{aligned} \quad (15)$$

$$\text{where } c_1 = \alpha \cdot \alpha_X, c_2 = (\alpha \cdot \beta_X + \beta \cdot \alpha_X), c_3 = \beta \cdot \beta_X \\ d_1 = \alpha \cdot \alpha_Y, d_2 = (\alpha \cdot \beta_Y + \beta \cdot \alpha_Y), d_3 = \beta \cdot \beta_Y$$

식(8)의 양변에 r 을 곱하고, 상기의 식(11)~(15)을 대입하여 Z_0 에 대하여 정리하면 식(16)의 Z_0 에 관한 2 차 방정식이 유도되어진다. 식(16)으로부터 Z_0 를 구하고, 다음에 식(11)을 이용하여 r 을 구한다. 이때, 구한 해 중 Z_0 및 r 이 양수인 경우만을 채택한다. 마지막으로 식(12) 및 식(13)으로부터 X_0 , Y_0 가 구해진다. 여기서 구한 X_0 , Y_0 , Z_0 가 카메라의 중심으로부터 실제 목표물의 위치가 된다. 제안한 다수의 화상을 이용한 전선의 3 차원 중심위치의 계산법은 목표물의 특징부의 차수만 알고 있다면 카메라의 캘리브레이션이 필요없는 신속, 간단한 계산수법이다.

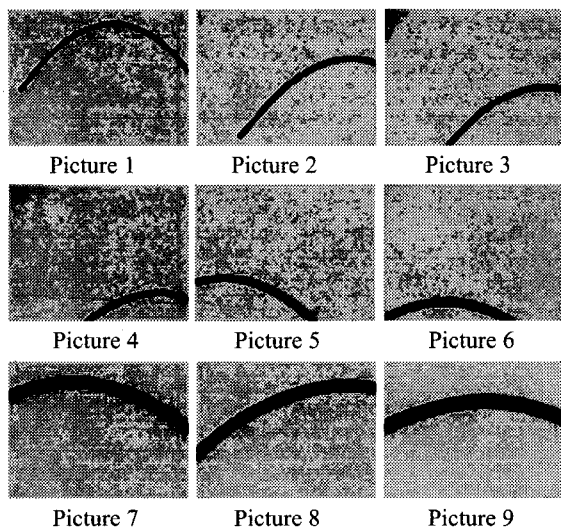
$$a_1 \cdot Z_0^2 + a_2 \cdot Z_0 + a_3 = 0 \quad (16)$$

where

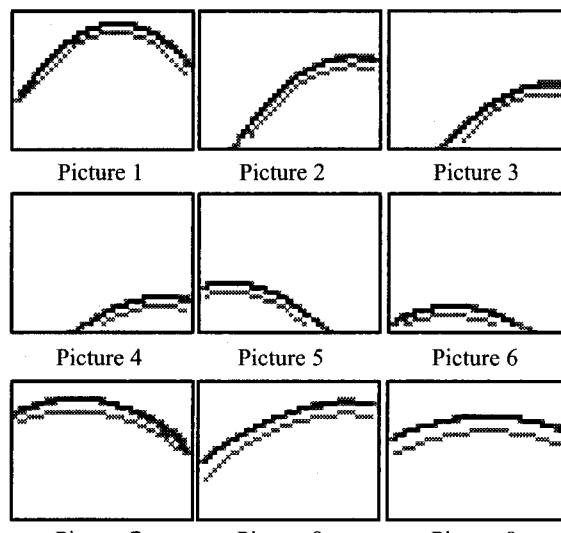
$$\begin{aligned}
 a_1 &= \sum_{i=1}^n \left\{ (\alpha_X^2 + \alpha_Y^2) + 2c_1\Delta X_i + 2d_1\Delta Y_i - \alpha_X x_i - \alpha_Y y_i \right. \\
 &\quad \left. - (x_i \Delta X_i + y_i \Delta Y_i) \alpha + \alpha^2 ((\Delta X_i)^2 + (\Delta Y_i)^2) \right\} \\
 a_2 &= \sum_{i=1}^n \left\{ 2 \cdot (\alpha_X \beta_X + \alpha_Y \beta_Y) + 2c_2\Delta X_i + 2d_2\Delta Y_i \right. \\
 &\quad \left. - \beta_X x_i - \beta_Y y_i - \alpha_X \Delta Z_i x_i - \alpha_Y \Delta Z_i y_i \right. \\
 &\quad \left. - (x_i \Delta X_i + y_i \Delta Y_i) \beta + 2\alpha\beta ((\Delta X_i)^2 + (\Delta Y_i)^2) \right\} \\
 a_3 &= \sum_{i=1}^n \left\{ \beta_X^2 + \beta_Y^2 + 2 \cdot c_3\Delta X_i + 2d_3\Delta Y_i - \beta_X \Delta Z_i x_i \right. \\
 &\quad \left. - \beta_Y \Delta Z_i y_i + \beta^2 ((\Delta X_i)^2 + (\Delta Y_i)^2) \right. \\
 &\quad \left. - \beta (x_i \Delta X_i \Delta Z_i + y_i \Delta Y_i \Delta Z_i) \right\}
 \end{aligned}$$

4.2 다수의 화상을 이용한 전선의 중심위치의 인식실험

상기에 제안한 계산법의 유효성을 확인하기 위하여, 실제 배전공사에 사용되어지는 매니풀레이터를 이용하여 전선의 중심위치 인식 실험을 수행하였다. 이 때, 카메라의 중심으로부터 전선의 초기 중심위치는 측정에 의해, $(X_0, Y_0, Z_0) = (60, -73, 1000) \pm 1[\text{mm}]$ 라는 결과를 얻었다. Fig.9 (a)에서는 실제 매니풀레이터가 ΔX_i , ΔY_i , ΔZ_i 만큼 이동하였을 때의 화상을 나타내고 있으며, Fig.9 (b)에서는 각 화상에 대해 제안한 수정하후변환을 적용한 결과로부터 구한 가상적인 포물선과 원화상에 이치화한 화상을 겹쳐서 나타내고 있다. 이 결과로부터 수정하후변환에 의해 고정도로 화상에서의 전선의 중심위치가 인식됨을 확인할 수 있다. 각각의 경우에 있어서의 매니풀레이터의 이동거리는 표 1의 좌측에 기입되어 있다. 여기서 전선에 대하여 수직거리(ΔZ)가 클수록 카메라와 전선간의 거리가 커져 전선이 작게 보임을 알 수 있다. 또한 수정하후변환을 적용하여 전선의 기울기와 중심점을 구한 결과는 표 1의 우측에 표시되어 있다. 이 결과와 4.1 절의 계산식을 이용하여 전선의 중심위치를 계산한 결과 $(X_0, Y_0, Z_0) = (60.7, -73.3, 988)[\text{mm}]$ 의 결과를 얻었다. 이 결과는 실제 전선 중심좌표에 대해 x, y 축에 관해서는 약 $1[\text{mm}]$, z 축에 관해서는 $12[\text{mm}]$ 의 오차이다. 이 오차는 전선의 삽입작업을 수행하는데 충분한 정도이다. 이 결과로부터 포물선 인식에 사용되어지는 수정하후변환을 응용한 전선의 중심위치의 인식 및 다수의 화상을 이용한 전선의 3 차원 공간에서의 중심위치의 계산수법의 유효성을 확인할 수 있다.



(a) Multiple images



(b) Results of Hough Transform

Fig. 9 Experiments by Using Multiple Images

5. 결론

본 연구에서는 활선공사의 대표적인 작업중 하나인 전선의 슬리브에의 삽입작업의 완전자율화를 실현하기 위해 필요한 전선의 중심위치의 인식에 포물선 인식에 사용되어지는 수정하후변환을

Table 1 Manipulator Movements and Results of Hough Transform

Picture Number	Manipulator Movement [mm]			Modified Hough Transform ($y=a(x-b)^2+c$)		
	ΔX	ΔY	ΔZ	a	b	c
1	-300	0	300	-0.033	3	12
2	-150	170	100	-0.028	14	5
3	-50	180	100	0.020	18	-1
4	50	120	0	-0.018	14	-8
5	0	-230	-100	-0.022	-14	-5
6	50	-130	-200	-0.020	-6	-10
7	-150	-100	-500	-0.018	-6	11
8	-150	45	-500	-0.012	13	10
9	-110	-45	-600	-0.010	2	7

응용하여 전선의 중심위치의 인식에 적용, 2 종류의 대표적인 장애물과 부분적인 은폐가 있는 경우 및 다른 기울기를 가진 전선에 대해서 전선의 중심을 인식할 수 있음을 확인하였다.

또한, 실제의 전선중심의 3 차원 좌표를 구하기 위해 다수의 화상을 이용한 목표위치의 최적화를 수학적으로 유도하여 실제의 배전공사중에서 전선의 슬리브에의 삽입작업 중 전선의 중심위치의 인식에 응용하여 제안한 화상 인식법의 유효성을 확인하였다.

후기

본 논문은 한국과학재단 지정 울산대학교 기계부품 및 소재 특성평가 연구센터의 지원에 의한 것입니다.

참고문헌

1. M. Nakashima, H. Yakabe, Y. Maruyama, K. Yano, K. Morita, H. Nakagaki, Application of Semi-Automatic Robot Technology on Hot-Line Maintenance Task, Proc. of the 1995 IEEE Int. Conf. on R&A, pp. 843-850, 1995.
2. M. Boyer, System Integration in Telerobotics Case Study: Maintenance of Electric Power Lines, Proc. of the 1996 IEEE Int. Conf. on Robotics and

- Automation, pp. 1042-1047, 1996.
3. S. Tanaka, Y. Maruyama, K. Yano, Work Automation with the Hot-Line Work Robot System -Phase II, Proc. of the 1996 IEEE Int. Conf. on R&A, pp. 1261-1267, 1996.
 4. L. Penin, R. Aracil, M. Ferre, E. Pinto, M. Hernando, A. Barrientos, Telerobotic System for Live Power Lines Maintenance(ROBET), Proc. of the 1998 IEEE Int. Conf. on R&A, pp. 2110-2115, 1998.
 5. K.K. Ahn, S.Yokota, T. Yamamoto, "On Robust Impedance Force Control to a 6-Link Electro-hydraulic Manipulator," 14th World Congress of IFAC, Vol. G, pp. 73-78, 1998.
 6. K.K. Ahn, S.Yokota, H. Furuta, "Force Control of to 6-Link Electro-hydraulic Manipulator(Application to the approaching of a bolt and the wrenching of a nut task)," JSME(C), Vol. 65, No. 637, pp. 3672-3677, 1999.
 7. 안경판, 조용래, 이병룡, 양순용, "전기 유압 매니퓰레이터의 강건 힘 제어," 한국정밀공학회지, Vol. 19, No. 4, pp. 202-208, 2002.
 8. K.K. Ahn, S.Yokota, H. Furuta, "Coordinative control of a 6-link electro-hydraulic manipulator with dual arm (Application of discrete event control to the task of insertion of electric line to the sleeve)," JSME(C), Vol. 66, No. 645, pp. 1567-1573, 2000.
 9. P.V.C.Hough, "Method and means for recognizing complex patterns," U.S. Patent 3069654, 1962.
 10. R. Yip, P.Tam, D.Leung, "Modification of Hough Transform for circles and ellipses detection using 2-dimensional array," Pattern Recognition, Vol. 25, No. 9, pp. 1007-1022, 1992.